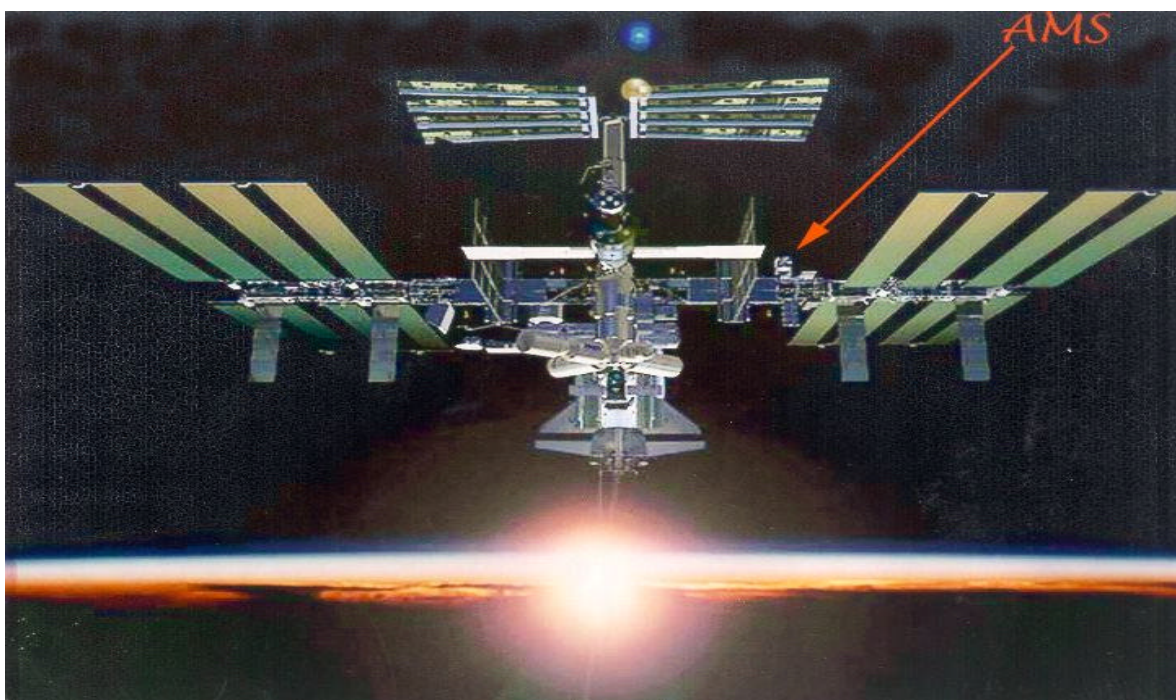


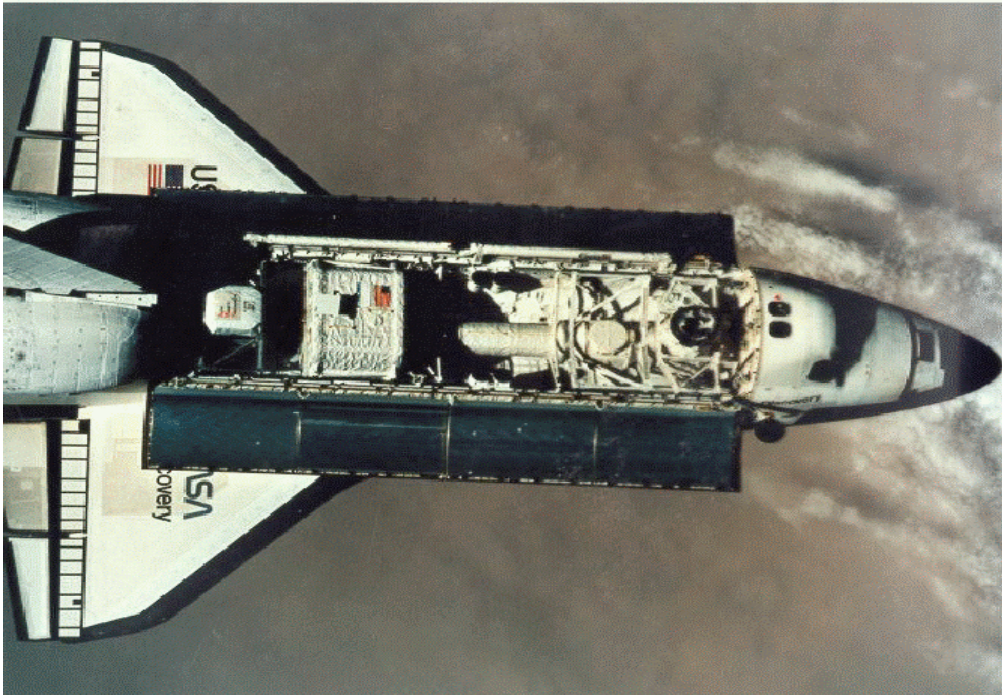
AMS-02 nella ISS



AMS / ISS

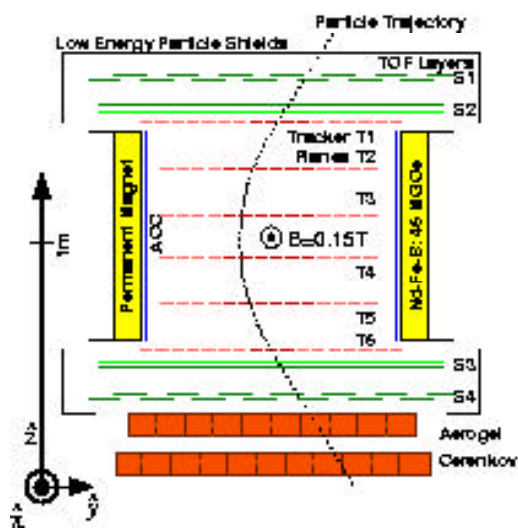
- * Il volo precursore nel 1998
- * Gli obiettivi di fisica
- * L'apparato sperimentale
- * L'attività del gruppo di Roma
- * Conclusione

AMS-01 on Discovery during STS-91 Flight



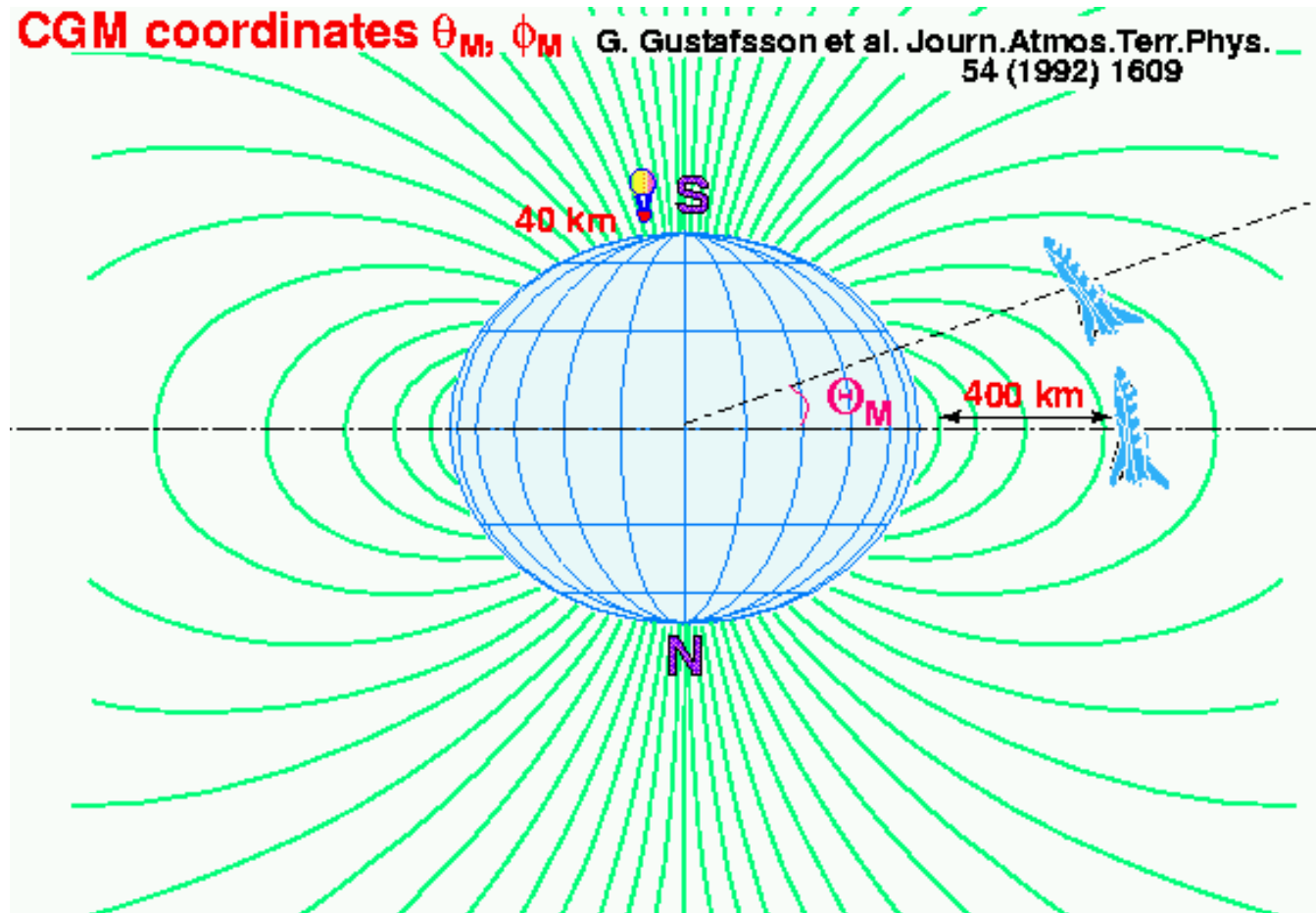
AMS-01 Configuration on STS-91 Flight

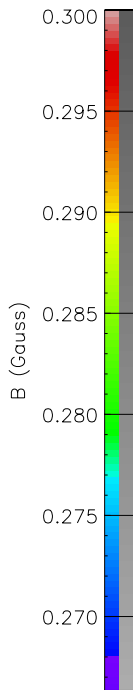
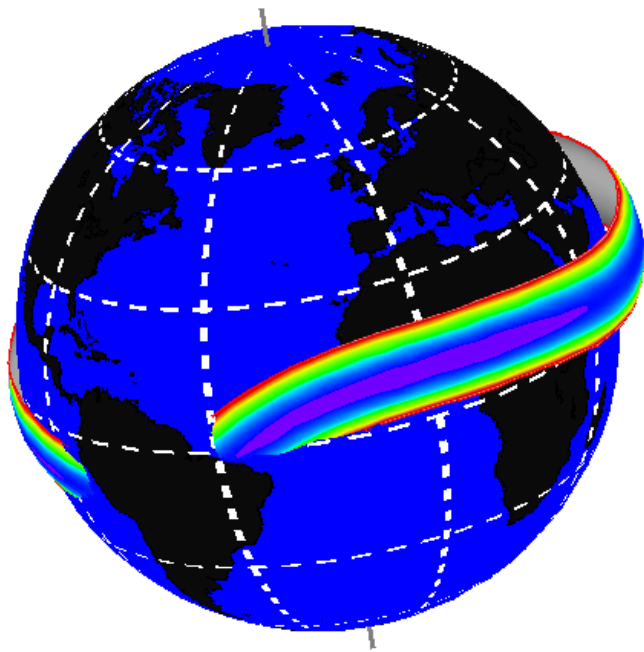
STS-91 Flight, June 2-12th, 1998



- **Magnet:** $\text{Nd}_2\text{Fe}_{14}\text{B}$, $BL^2 = 0.15\text{ TM}^2$
- **T.o.F:** Four planes of scintillators; and Z measurements, up/down separation
- **Tracker:** Six planes of ds silicon detectors; Charge sign, dE/dX up to $Z=8$, Rigidity (p/Z)
- **Anticounters:** Veto stray trajectories and bckgnd particles from magnet walls
- **Aerogel Threshold Cerenkov:** measurements ($1 \div 3\text{ GeV}/c$) for better e/p separation
- **Low Energy Particle Shielding (LEPS):** Carbon fibre, shield from low energy ($<5\text{ MeV}$) particles

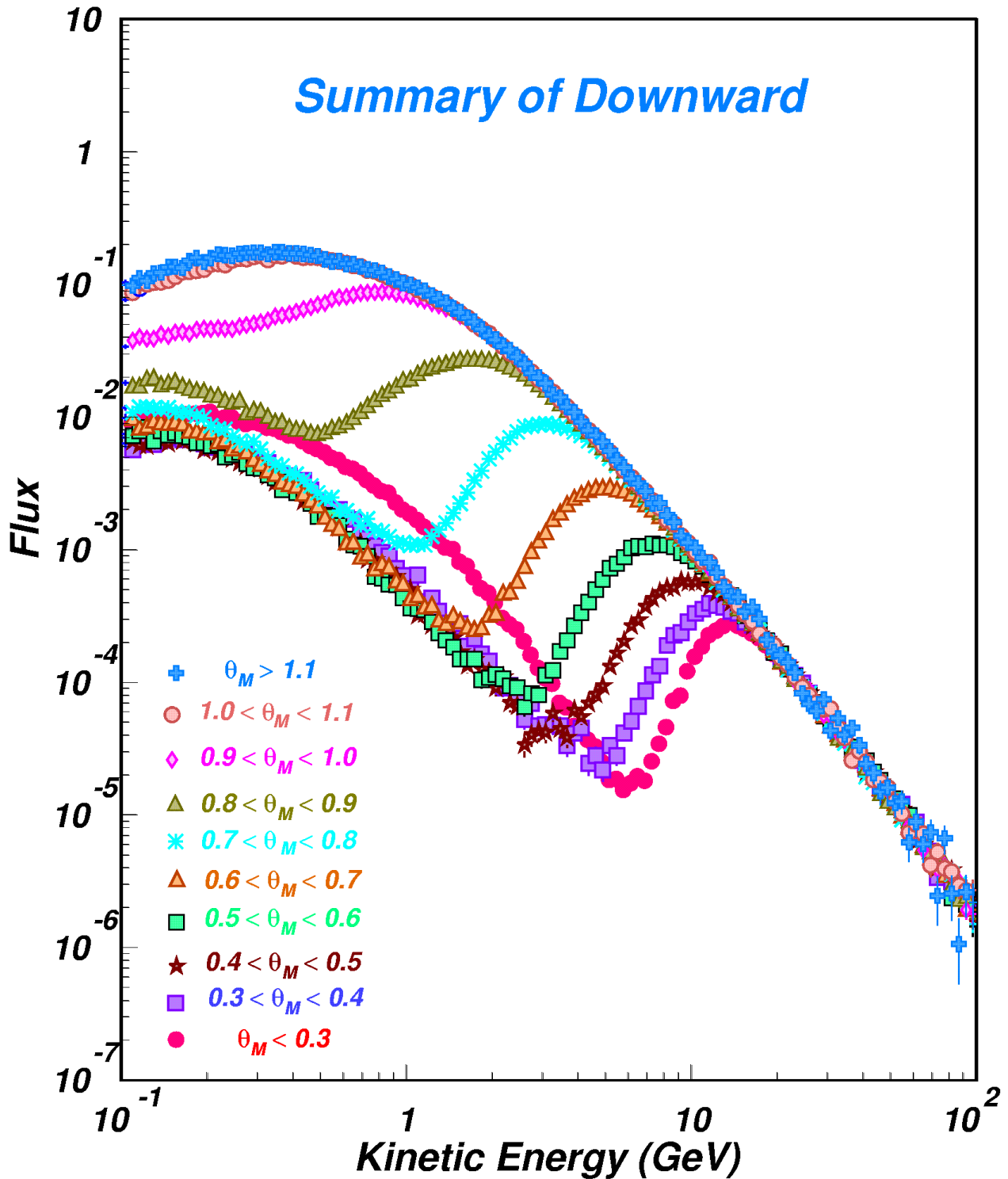
Earth Magnetic Field vs shuttle orbit





Primary Proton Spectrum

Proton Flux



y99181c_AllPsumDown

AMS 01- Le fasce

	Fasce di Van Allen	Fasce AMS
Energia	1 – 100 Mev	1 – 10 Gev
Composizione	e^- p	e^+ e^- p ^3He
Posizione	alta quota 1000-3000 Km	bassa quota 400 Km
Vita media	anni	secondi
Origine	decadimenti neutroni	secondari x atmosfera

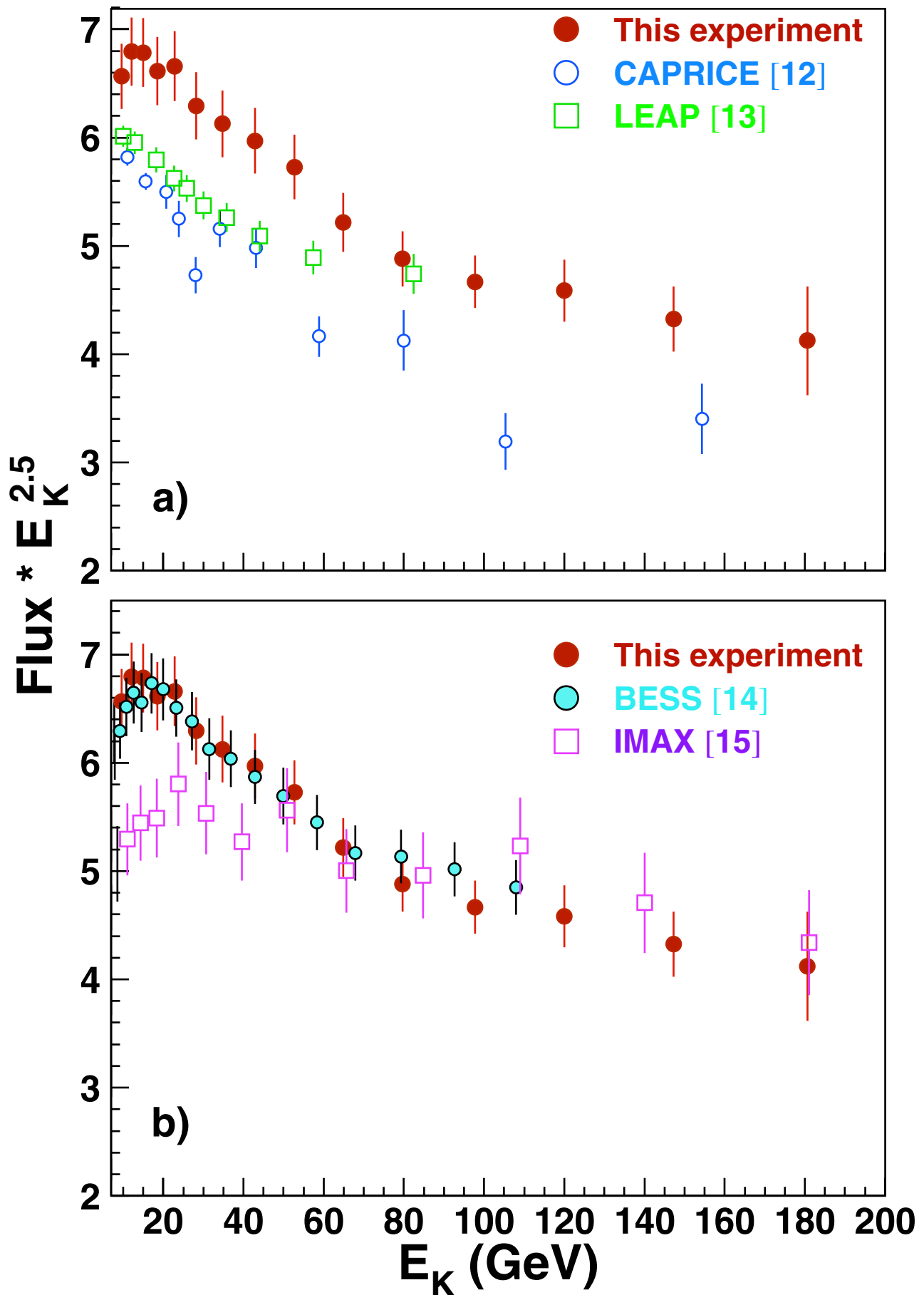


Figure 8: The primary proton spectrum multiplied by $E_K^{2.5}$ in units of $\text{GeV}^{2.5}/(\text{m}^2 \text{ sec sr MeV})$ as measured by this experiment (total errors shown) in comparison with some recent balloon based measurements.

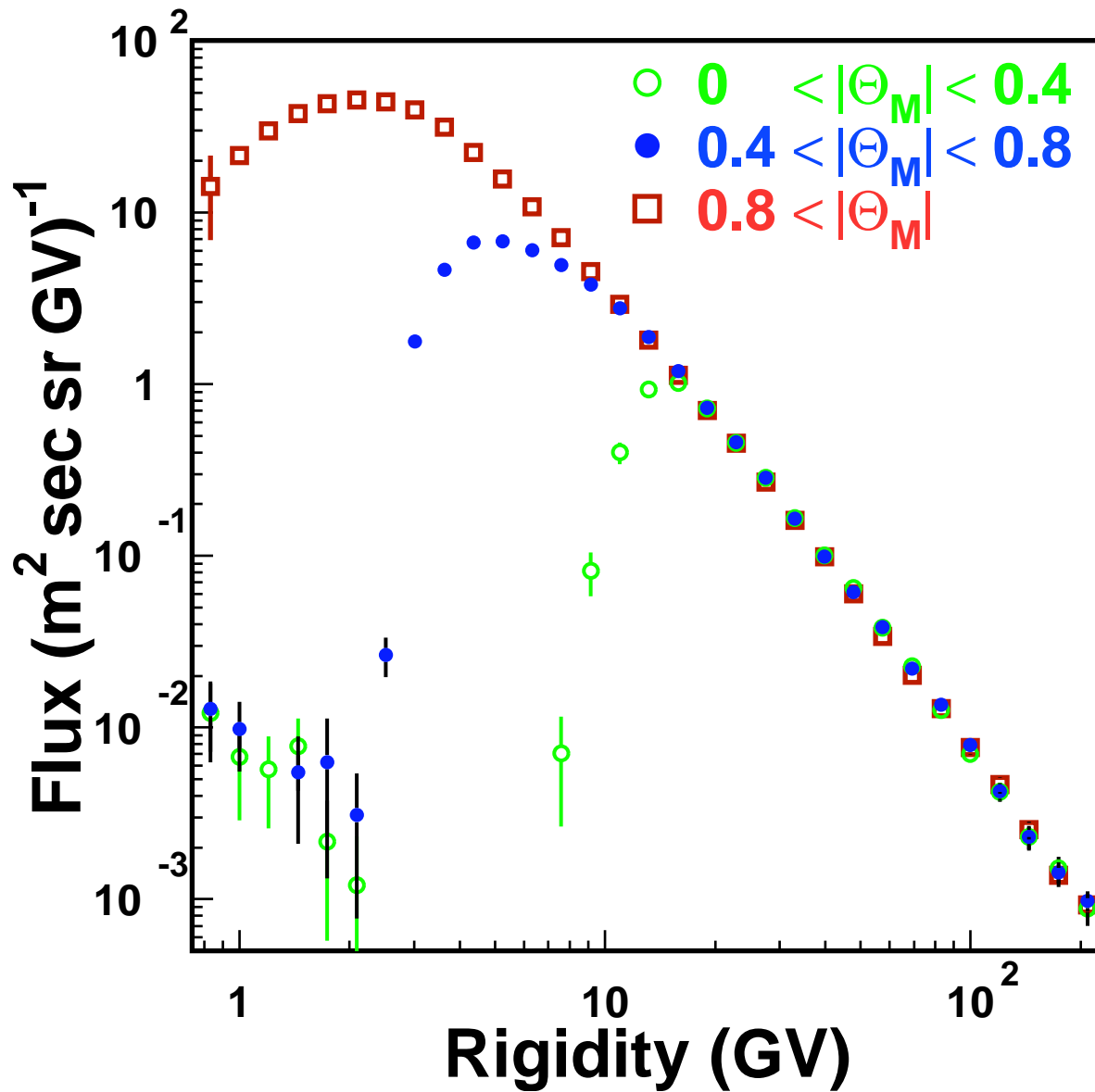
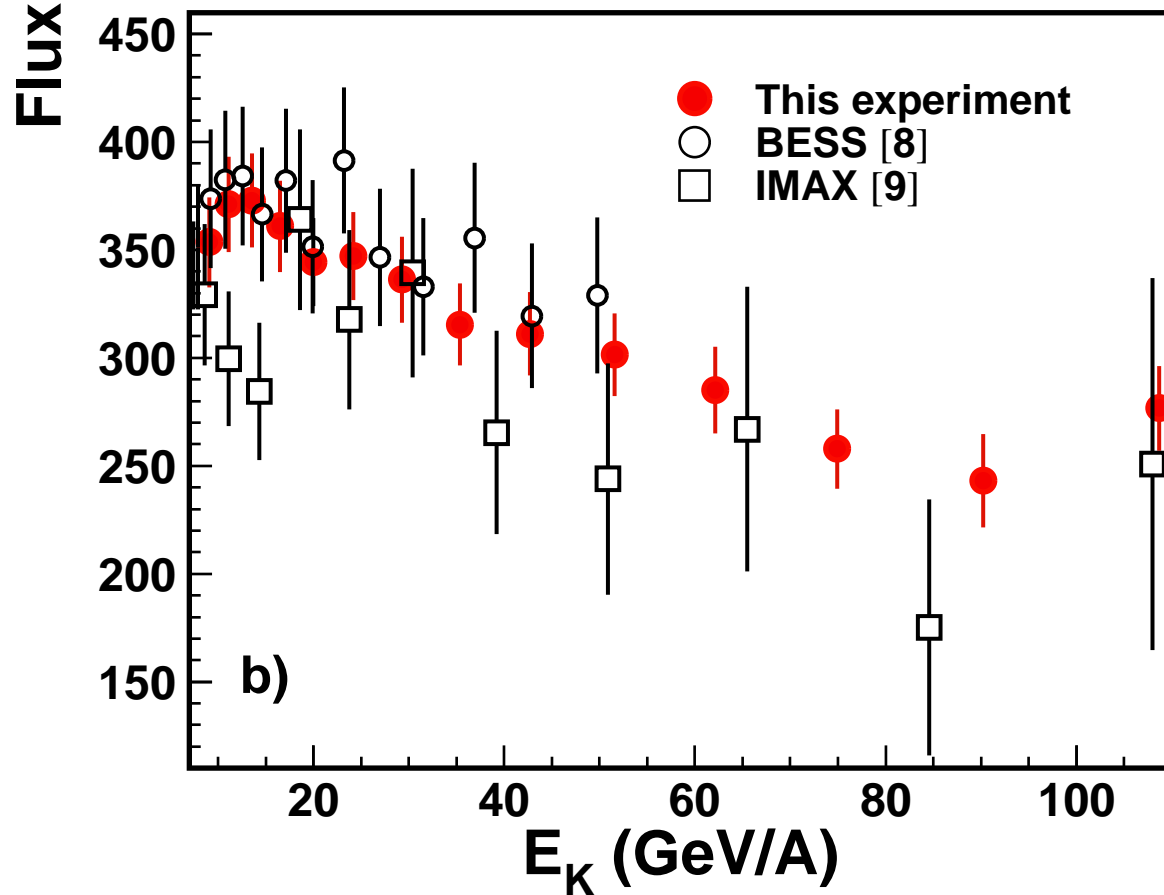
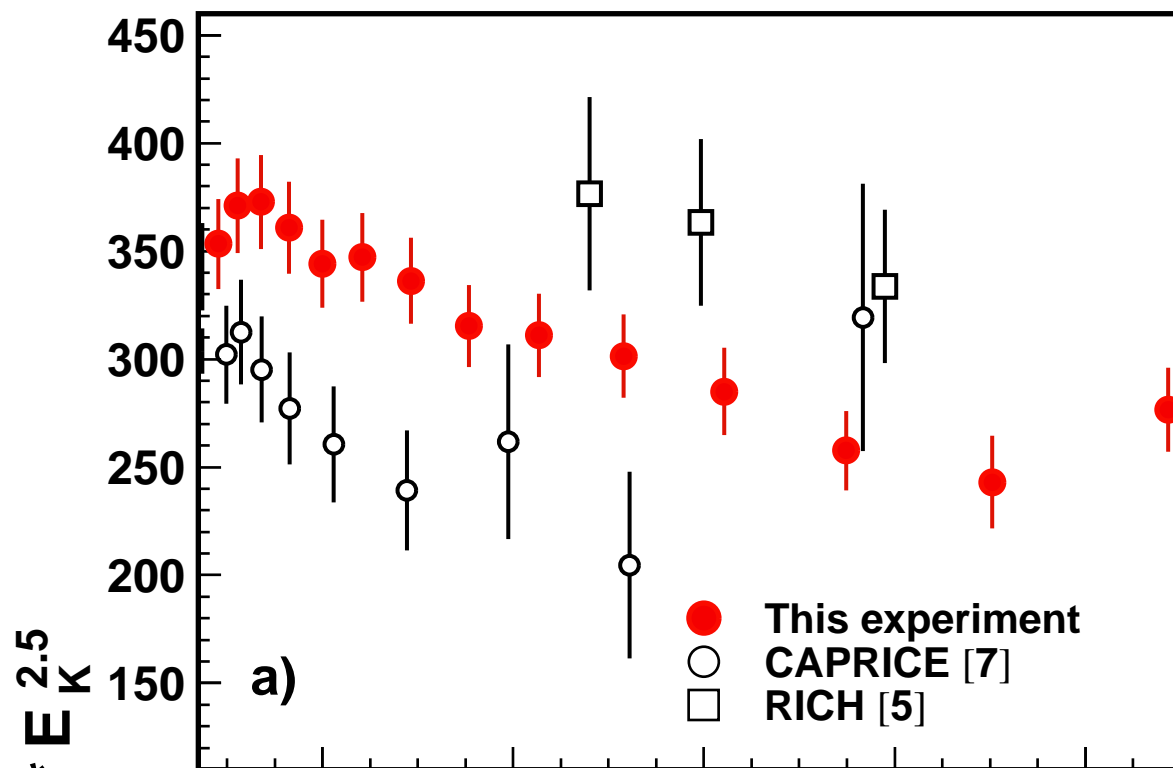


Figure 1: Helium flux spectra for the zenith pointing separated according to the geomagnetic latitude, $|\Theta_M|$, at which they were detected.



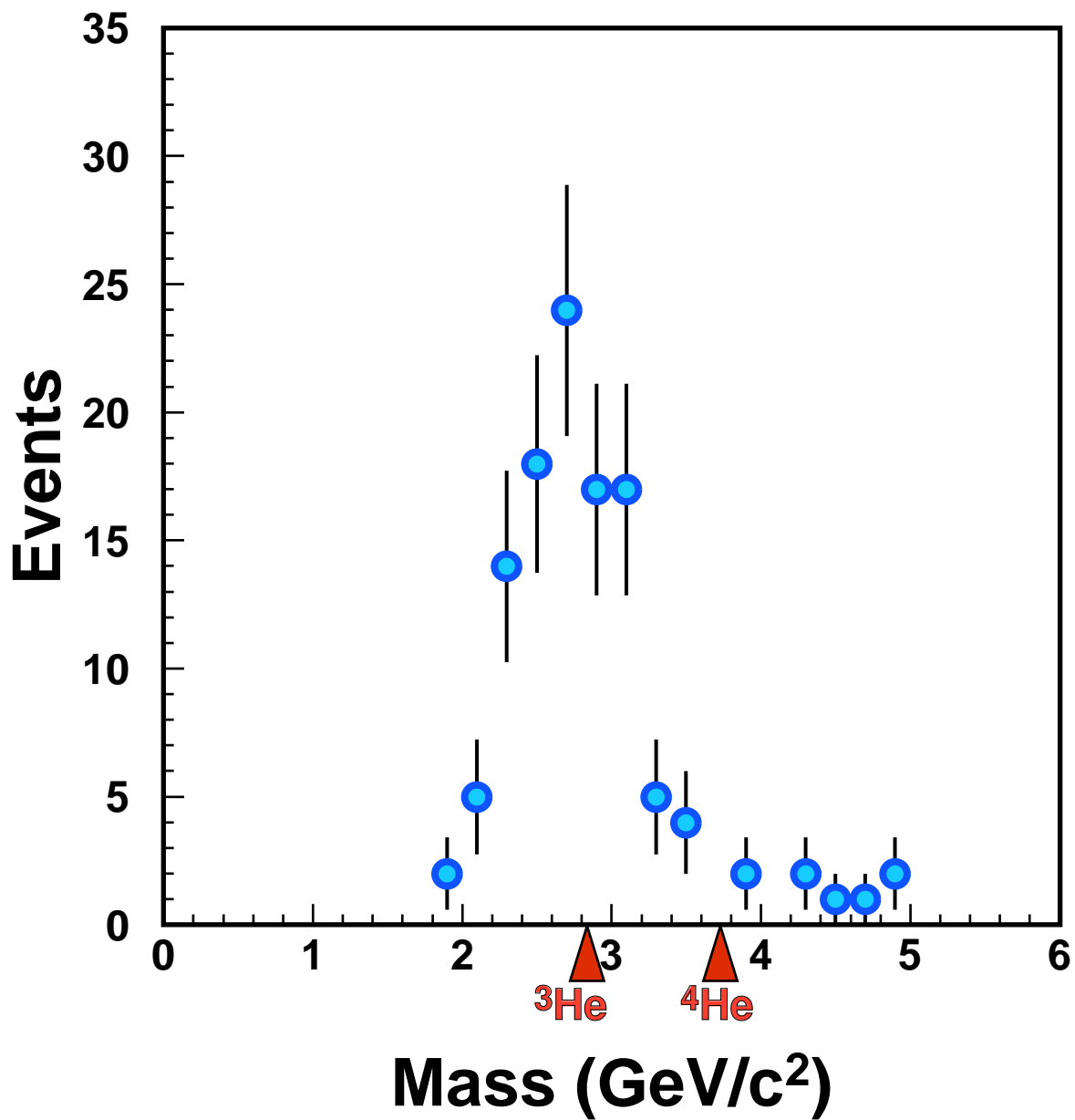
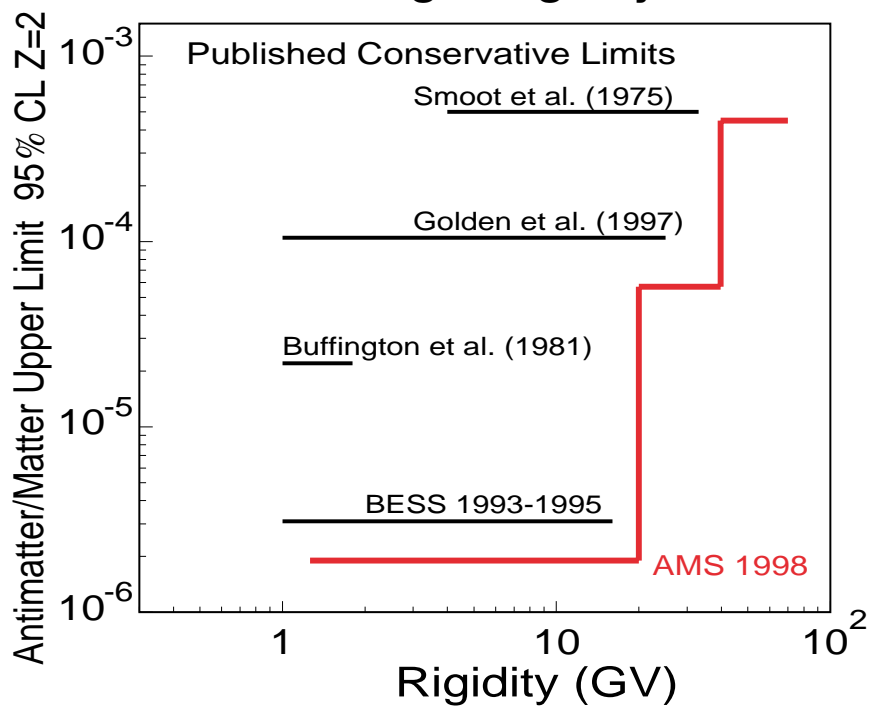
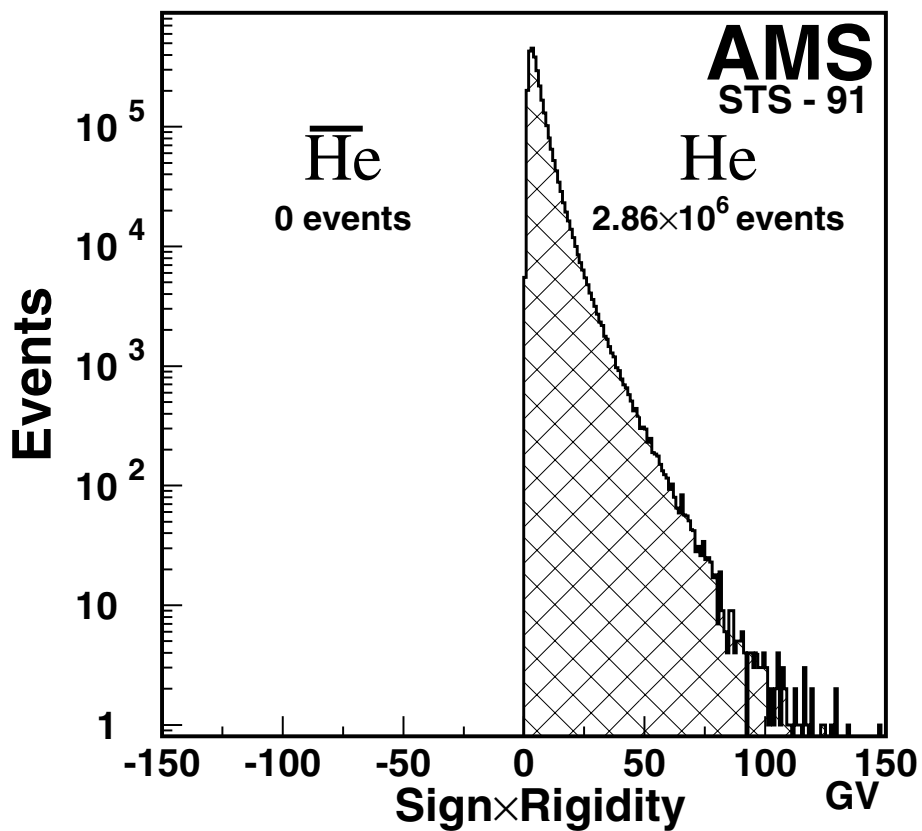
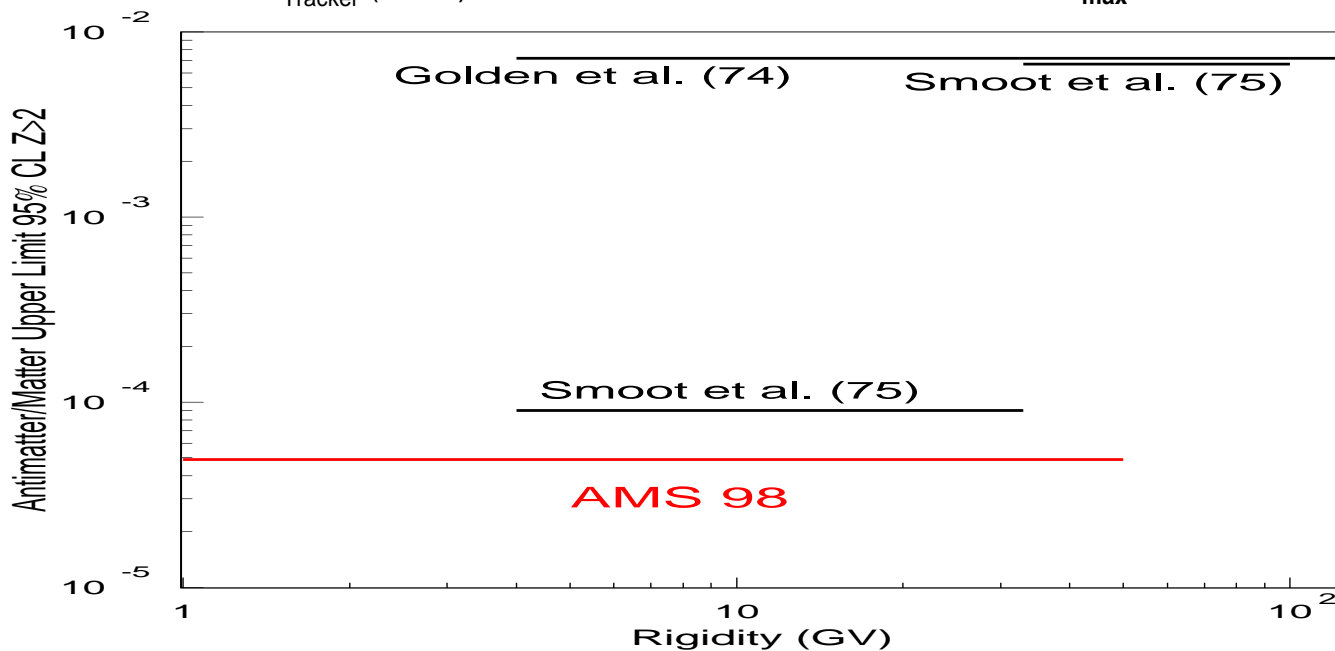
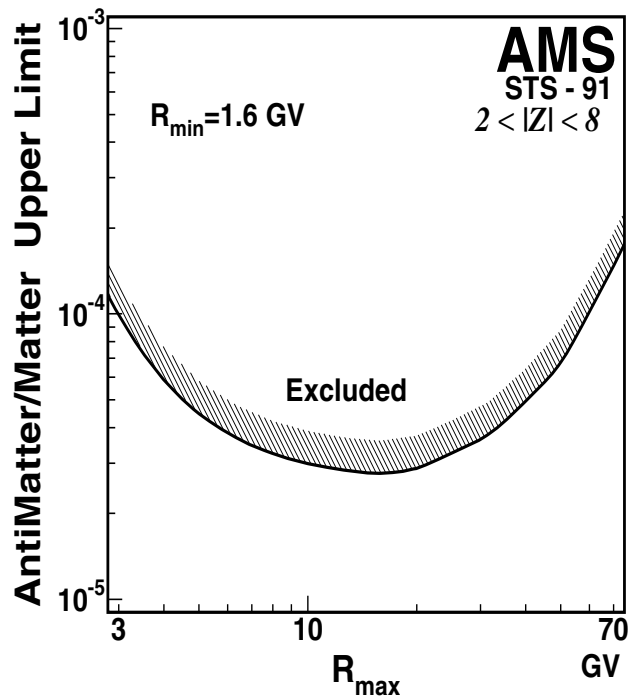
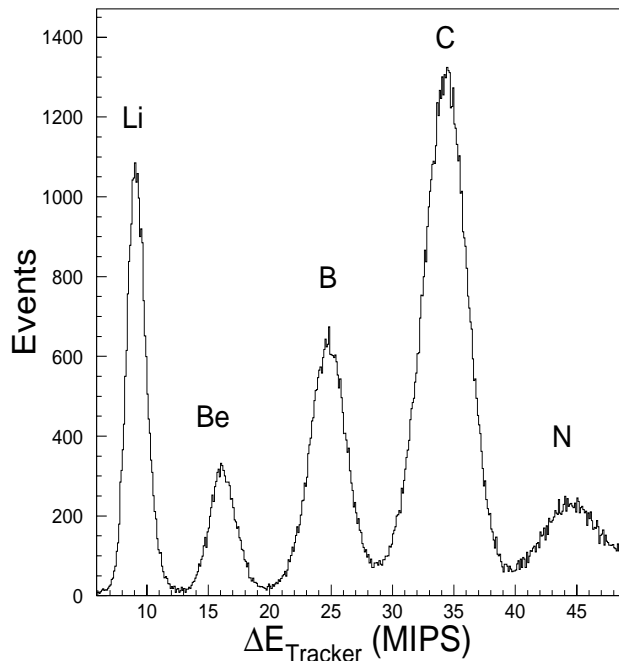


Figure 7: Reconstructed mass distribution for the second spectrum helium for $|\Theta_M| < 0.6$ compared with the masses of ${}^3\text{He}$ and ${}^4\text{He}$.

AMS01 Results

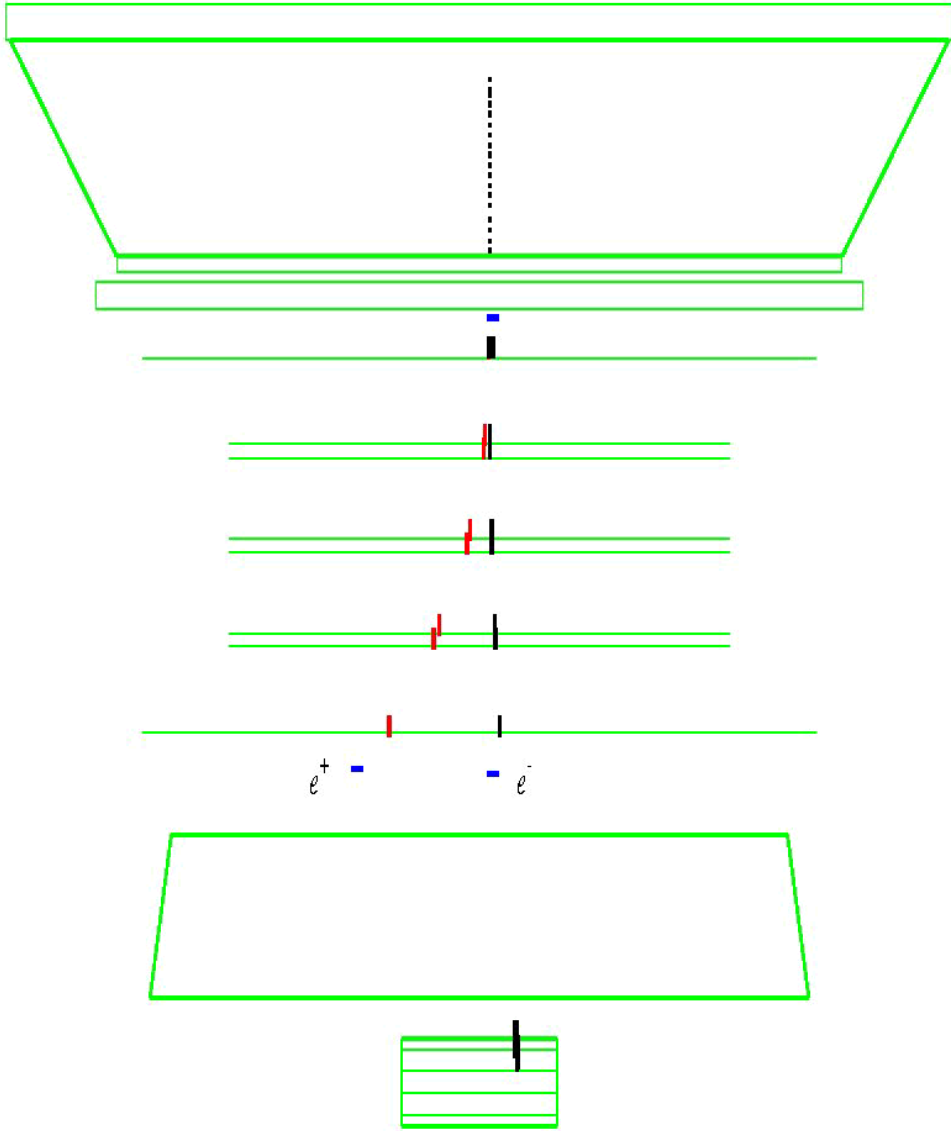


AMS01 Results

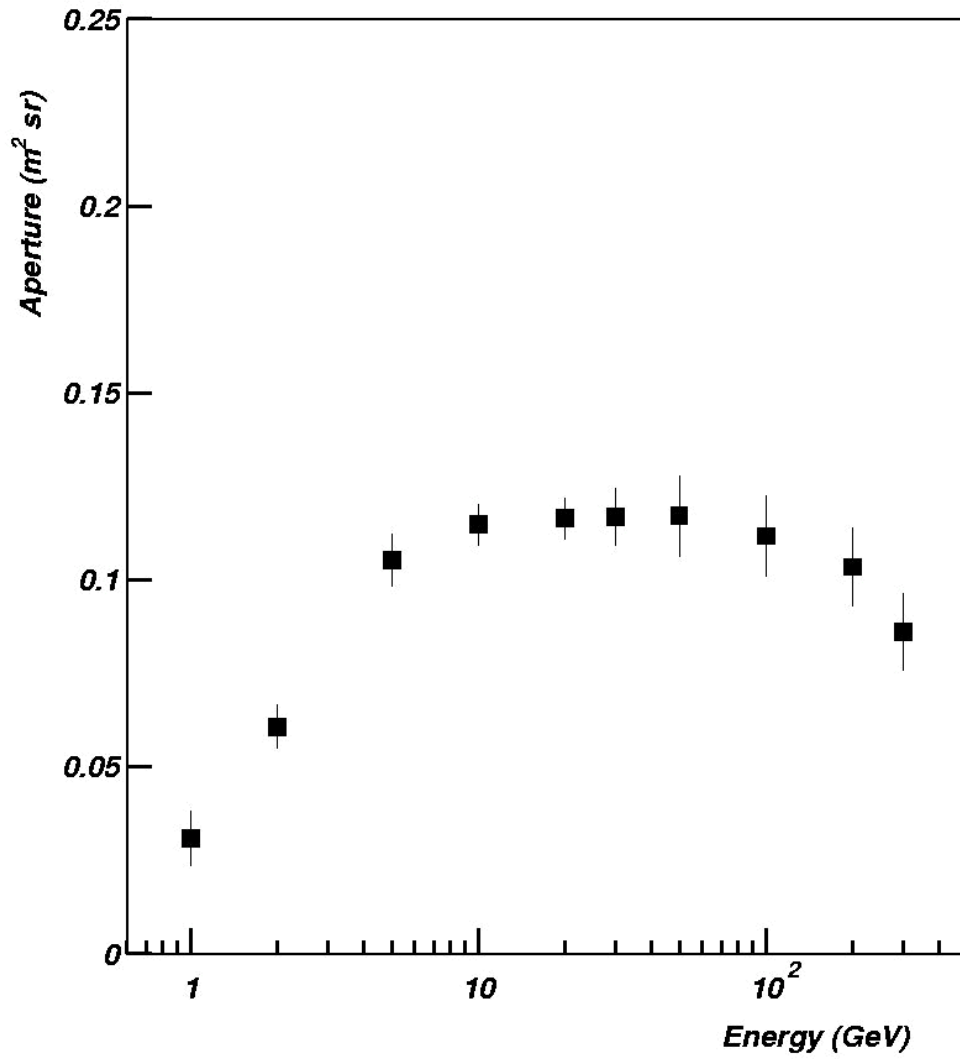


La fisica di AMS

- ricerca antimateria nucleare con sensibilità 10^{-9}
- ricerca materia oscura via $\chi + \chi \rightarrow e^+ e^- ; \chi + X; p.....$
- sorgenti , burst
- origine e propagazione dei CR $\rightarrow {}^{10}\text{Be}/{}^9\text{Be}$



AMS 02 GAMMA APERTURE



AMS / ISS

L'apparato sperimentale

La collaborazione

Il magnete

Il tracker

Il transition radiation detector

Il cerenkov ad immagine

Il tempo di volo

Il calorimetro elettromagnetico

AMS-02 Europe



European Participation in AMS-02 construction.

AMS-02 Superconducting Magnet

Nominal Bending Power: 0.85 Tm²

Peak Field in coil: 6.6 T

N. of Coils: 2 Dipoles, 20 racetracks

Magnetic Torque: 0.272 Nm

Conductor: NbTi wire, Aluminum stabilized

Operating Temperature: 1.8K @ 20 mbar (2600 lt superfluid Helium)

Operating Current: 450 A

Power: 1.5 kW (peak, during ramp), 400 W (maintenance)

Endurance: 27 to 33 months (w cryocoolers)

Weight: about 3 tons

Dimensions: 2.7 m of diameter and 1.5 m of max height

AMS-02 Tracker

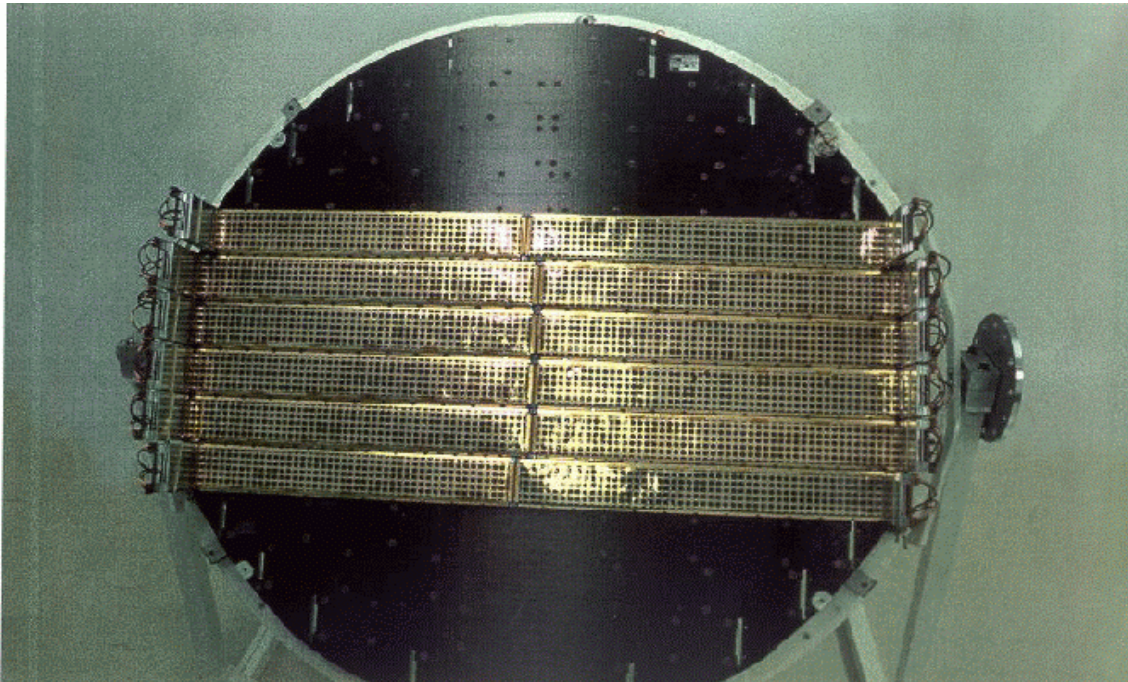
⌘ Scopo:

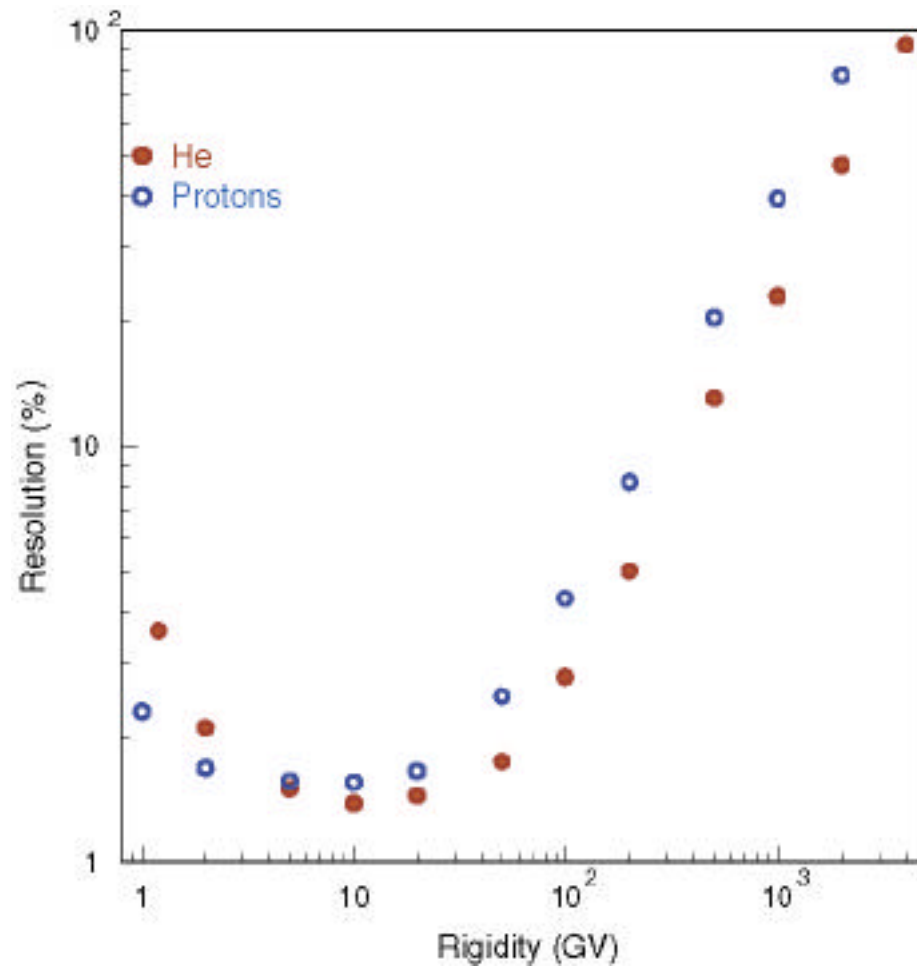
- ❖ Rigidity (P/Ze)
- ❖ Segno della carica

⌘ 8 piani sottili di microstrips Si doppio strato, risoluzione spaziale $< 10 \mu\text{m}$, 200.000 canali, potenza 800 W.

6 m² di superficie attiva, il più esteso costruito prima di LHC @ CERN.

AMS-02 Tracker (da AMS-01)





Rigidity Resolution of P and He in AMS-02

AMS-02 Transition Radiation Detector

- ⌘ Scopo:
 - ❖ Identificazione di particelle
p elettroni
 - ★ Reiezione e/p $1.5 - 4 \cdot 10^{-3}$ @ 90%÷95% e
- ⌘ 6 mm diameter, 1.3 to 2 m long straw tubes
- ⌘ Radiatore: Foam (Airex)
- ⌘ Miscela Gas : Xe/CO₂ 80/20, guadagno $2.5 \cdot 10^4$
- ⌘ Operating temperature interval: +10° C to + 25° C (gradient ± 1 K)
- ⌘ Peso: 484 kg (350 kg rivelatore)
- ⌘ Test beam e[±] p (3.5 - 15 GeV)

AMS-02 Ring Imaging Cerenkov Detector

⌘ Scopo:

❖ Velocità delle particelle, determinazione della massa

★ $dM/M = dP/P - 2 d /$

★ $d /$ 0.1 %, $p=1.7$ to 7.3 GeV/c/amu (for $n=1.15$)

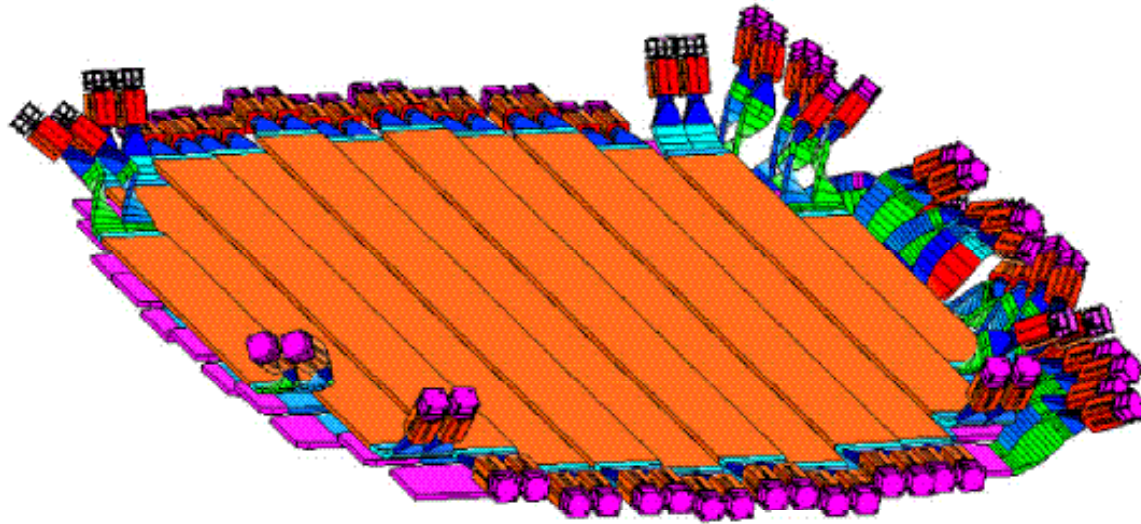
❖ identificazione isotopi $A < 25$ ($^{10}\text{Be}/^9\text{Be}$, $^3\text{He}/^4\text{He}$ etc.)

m/m 0.2 % up to 10 GeV

⌘ Radiatore (NaF) : $n=1.15$ (2 cm) / $n=1.34$ (1 cm)

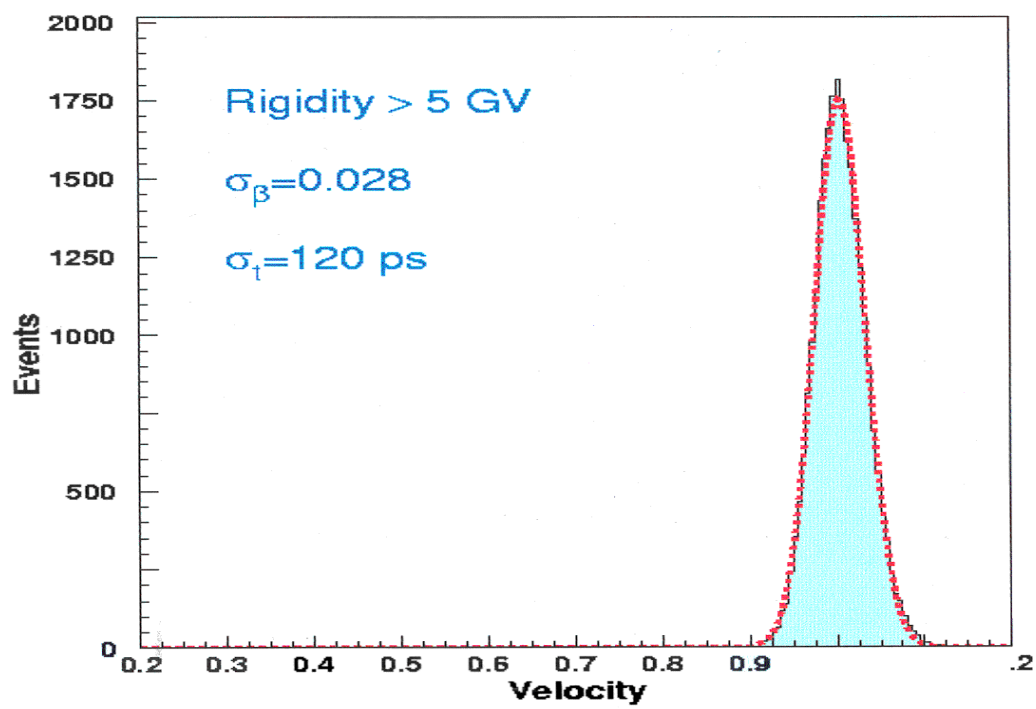
⌘ Light Yield (N) : 50

⌘ PMT Hamamatsu R5900 pixel (16 pixels, 0.45×0.45 cm² each)



Counters and PMs in planes 1 and 2 of the TOF system.
Note that the PMs of plane 1 are shown on one side only

AMS-02 Time of Flight System (T.o.F. risoluzione da AMS 01)



AMS-02 Electromagnetic Calorimeter (1)

⌘ Scopo:

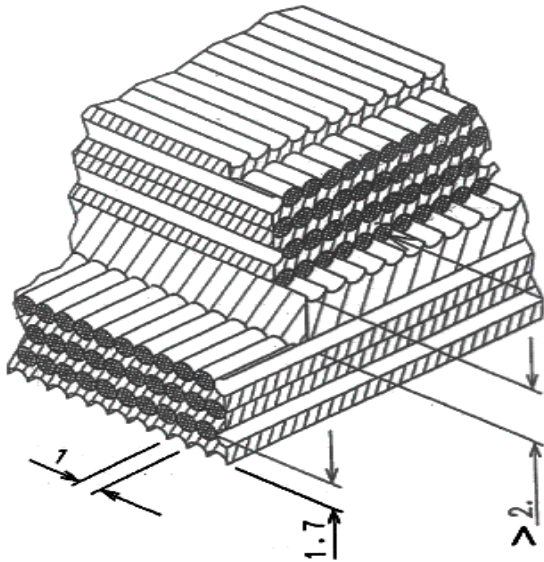
- ❖ separazione e/h @ 10^{-4} intervallo 1 ÷ 1000 GeV
Rivelazione con risoluzione angolare e di energia
- ❖ Misura albedo neutro (γ, n)

⌘ Risoluzione in energia

6.1 % ± 3.1 % @ 1 GeV	–
4.4 % ± 1.2 % @ 10 GeV	
1.46 % ± 0.2 % @ 100 GeV	

AMS-02 Electromagnetic Calorimeter

Active detector characteristics

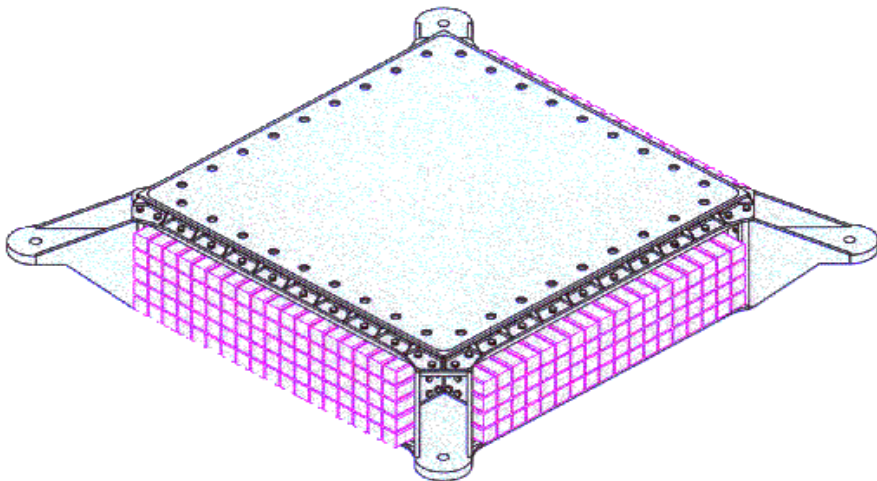


y2K087a

- ◆ **Pankake characteristics:**
 - Density: $6.95 + .05-.15\text{g/cm}^3$
 - Radiation Length:
 $X_0 = .98 \pm .01 \text{ cm}$
- ◆ **Superlayer:**
 - 10 Scintillating fiber planes
 - Thickness: $18.2 \pm 0.3 \text{ mm}$
- ◆ **Active Detector:**
 - dimensions:
 $658 \times 658 \times 163.8 \text{ mm}^2$
 - weight: 482 kg
 - 10 Scifi planes/Superlayer
 - Total Rad Length: $16.5 X_0$

AMS-02 Electromagnetic Calorimeter

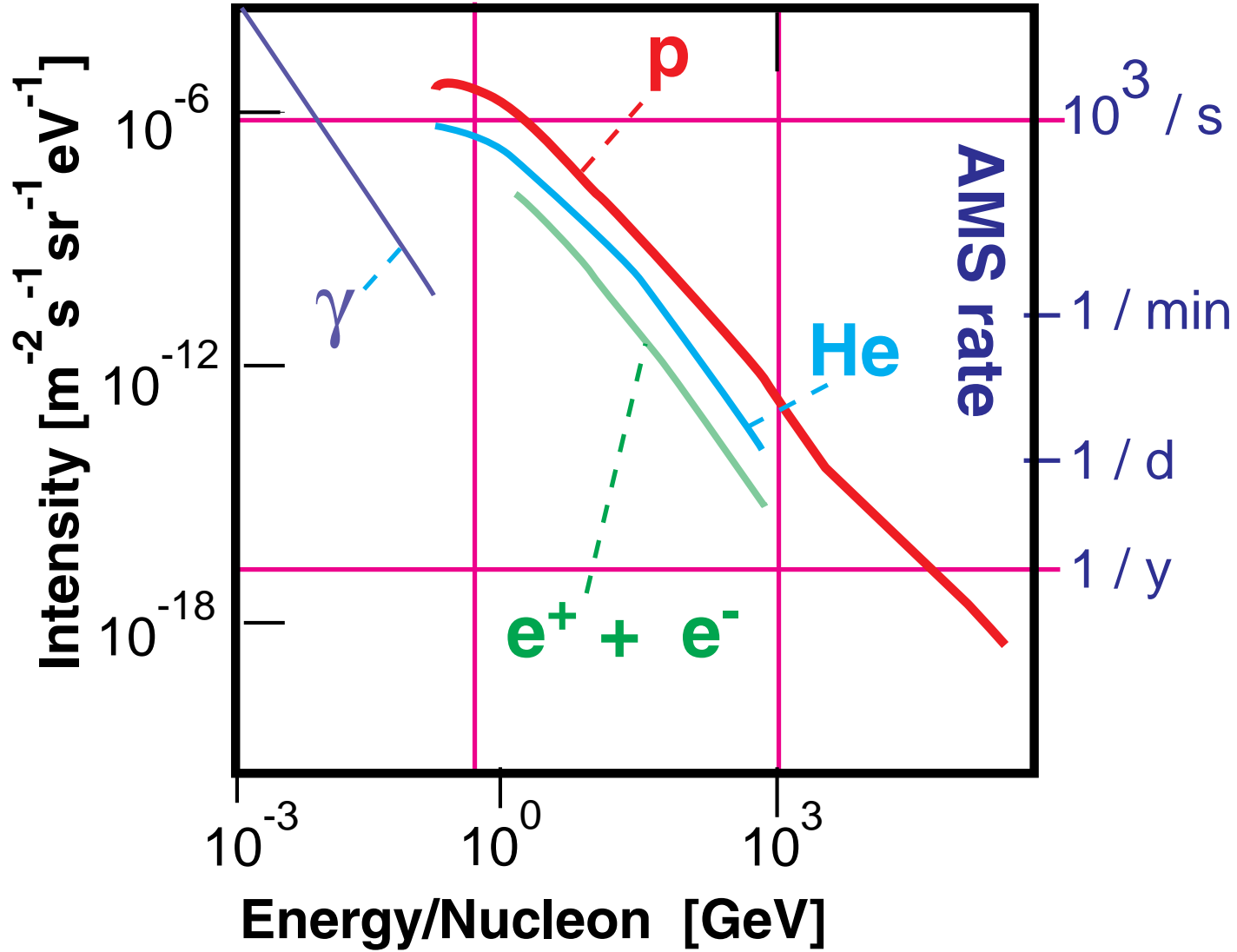
ECAL Mechanical Structure After Assembly with PMT



QZYK0406CAL

Designed by	Tai Cheng	24/01/00	Ecal Structure with PMT	File No.	CA-00-0
Checked by	C Wang	31/08/00		Scale	1:5
Reviewed by	H. Zhuang	03/02/00			
Approved by	IHEP, Beijing				AMS-02

Cosmic Particle Spectrum



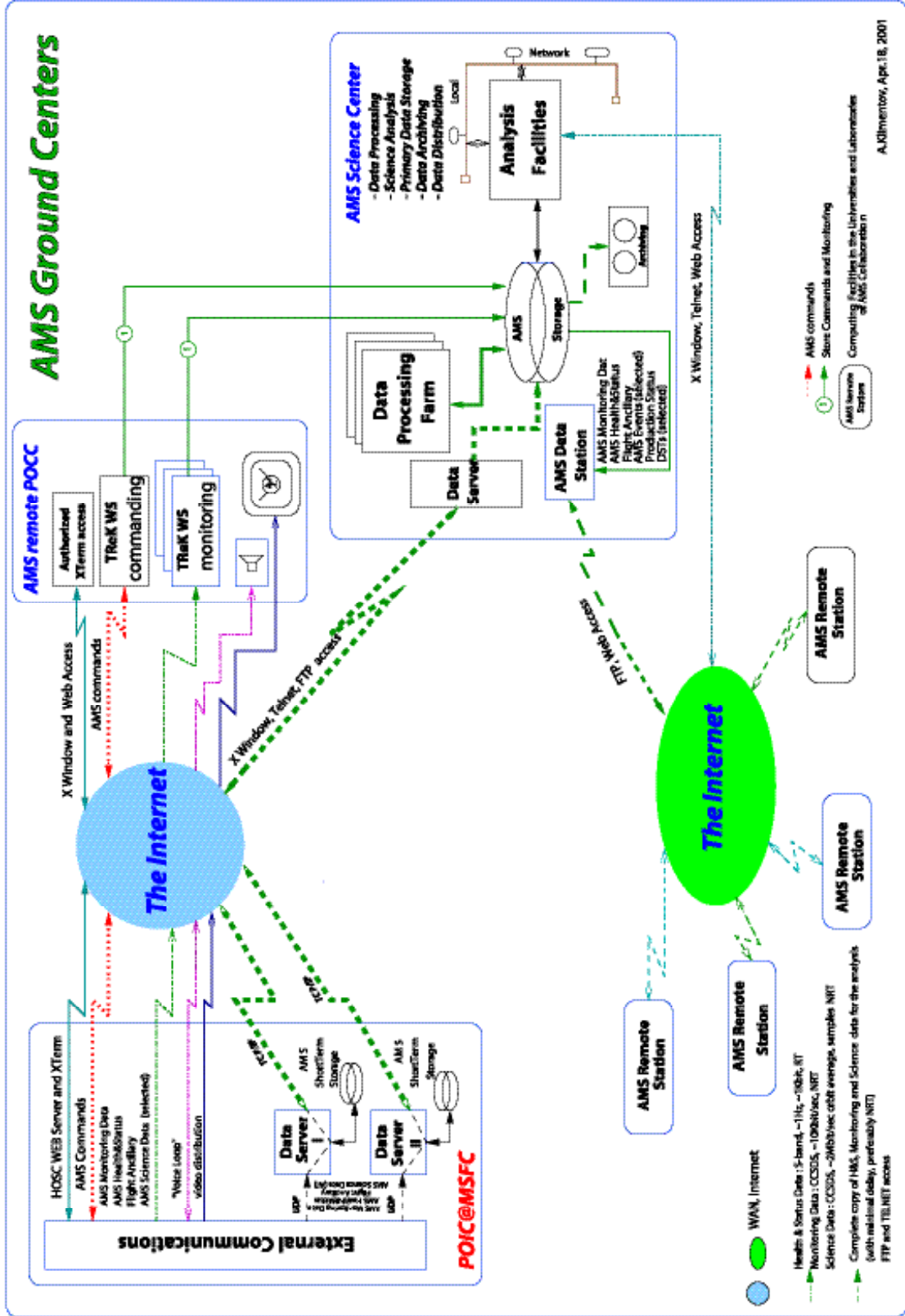
AMS02 - Acquisizione dati

canali/ rivelatore

★ Tracker	196600
★ TOF + ACC	384
★ RICH	33800
★ TRD	6200
★ ECAL	2600

⌘ Dimensione evento	5 Mbit
⌘ Trigger rate	200-2000 Hz
⌘ Raw Data rate	1-10 Gbit/s
⌘ Reduced Data rate	<2 Mbit/s>

AMS Ground Centers



AMS / ISS

L'attività del gruppo di Roma

AMS Roma

⌘ Alessandro Agneni	Dip. Ingegneria Aerospaziale
⌘ Stefania Baccaro	ENEA/Casaccia
⌘ Alessandro Bartoloni	INFN Roma 1
⌘ Bruno Borgia	Dip. Fisica
⌘ Carlo Bosio	INFN Roma 1
⌘ Corrado Gargiulo	INFN Roma 1
⌘ Simonetta Gentile	Dip. Fisica
⌘ Giovanni Laneve	Dip. Ingegneria Aerospaziale
⌘ Marco Montecchi	ENEA/Casaccia
⌘ Giovanni Vittorio Pallottino	Dip. Fisica
⌘ Antonio Paolozzi	Dip. Ingegneria Aerospaziale
⌘ Piero Rapagnani	Dip. Fisica
⌘ Corinne Rossi	Dip. Fisica
⌘ Enzo Valente	INFN Roma 1
⌘ M.Di Ruscio, U.Ponzi, C. Olivieri	Centro Progetto S.Marco

AMS Roma

- ⌘ **Elettronica di controllo sistema gas del TRD**
 - ❖ progettazione ed ingegnerizzazione elettronica
 - ❖ qualificazione dei componenti per radiazione
 - ❖ qualificazione moduli termo-vuoto, vibrazione
 - ❖ produzione sistema di controllo
- ⌘ **Meccanica sistema gas del TRD**
 - ❖ calcolo strutturale box S
- ⌘ **Test sul fascio del TRD completo di controlli**
- ⌘ **Calcolo**
 - ❖ *sviluppo del sistema di data storage e computer farm*
 - ❖ *simulazione montecarlo eventi nel TRD*
 - ❖ *simulazione eventi*
- ⌘ **Analisi dei dati**